

# Bounding Volume Hierarchies

## Object Partitioning

Verwendung:

- Ray Casting
- View-Frustum culling / occlusion culling  
(Scene graph liefert BV-Hierarchy)
- Point location, nearest neighbor
- Datenbanken ("spatial joins", range queries, point queries, ...)
- Kollisionserkennung

Wird oft als Gegensatz zum space partitioning betrachtet (siehe ich weniger).

Def. BVH:

Gegeben Menge  $O$  von Objekten.

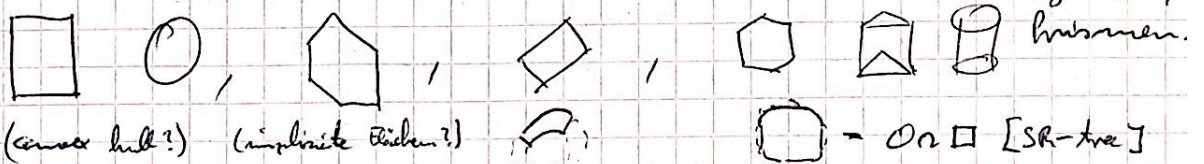
Falls  $|O| \leq k$ : BVH( $O$ ) := Blattknoten  $b$ , speichert  $O$ .

Sonst ( $|O| > k$ ): BVH( $O$ ) := Knoten  $v$  mit  $n(v)$  Kindern  $v_1, \dots, v_n$ , wobei  $v_i := \text{BVH}(O_i)$ ,  $O_i \subseteq O$ ,  $\bigcup O_i = O$ .

Jeder Knoten  $v$  speichert außerdem ein

"bounding volume"  $B \in \mathcal{B} =$  Menge aller zur Verfügung stehenden BVs, so daß  $\forall o \in O(v): o \subseteq B$ .

Typ. BVs sind AABBs, Kugeln, DOPs, OBBs, konvex H.



Bem.: Die Menge  $\mathcal{B}$  muß nicht notw. homogen sein!

D.h. sie kann auch Kugeln und Boxes und Zylinder enthalten.

Layered BVH:  $\forall$  children  $v_i$ :  
 $\forall i: \text{BV}(v_i) \subseteq \text{BV}(v)$

Wrapped BVH:  $\forall$  leaves  $v_i$  underneath  $v$ :  $O(v_i) \subseteq \text{BV}(v)$

Strategien:

- bottom-up
- top-down
- einfügen

Kriterien an BVs:

- 1) Tightness
- 2) Speicheraufwand
- 3) Schneller Test gegen Query-Objekt (Punkt, Strahl, andere BV, ...)

Definition "Tightness":

[LOBB-Paper]

Sei  $B$  ein BV,  $G$  Geometrie,  $G \subseteq B$ .

gerichtete Hausdorff-Distanz  $h(B, G) = \max_{b \in B} \min_{g \in G} d(b, g)$

( $d$  irgend eine Metrik, normalerweise  $L_2$ );

Durchmesser  $\text{diam}(G) := \max_{g, f \in G} d(g, f)$

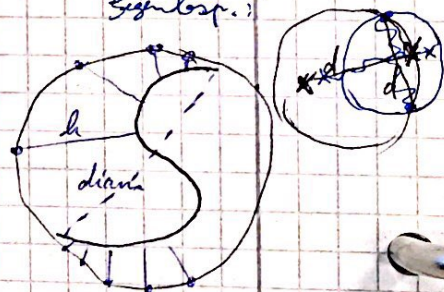
FRAGE: ist diam = Durchmesser der minimalen Bounding Sphere?  $\rightarrow$  nein  
Gegenbsp.:

Tightness  $\tau := \frac{h(B, G)}{\text{diam}(G)}$

kleiner ist besser

(Achtung: Hausdorff ist sehr unfähig gegenüber Ausreißern!)  
gilt es bei BV's nicht

Mit Kugeln als BV gilt:  
Dann ist  $0 < \tau < \frac{1}{2}$



Meine Definition:

$$\tau := \frac{\text{vol}(BV(v))}{\sum_{o \in O(v)} \text{vol}(BV(o))}$$

mit  $O(v)$  = Menge der Objekte in  $\gamma$  Blätter unter  $v$  (die die Abge speichern).

Bei dieser Def. kann  $\tau < 1$  werden, weil sich überlappende Volumen mehrfach gezählt werden! I.A. ist hier  $\tau > 1$

oder

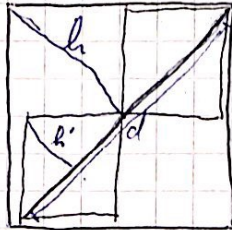
$$\tau := \frac{\text{vol}(BV(v))}{\sum_{c \in C(v)} \text{vol}(BV(c))}$$

mit  $C(v)$  = Kinder

kleiner ist besser.  
(Wir argumentieren: dieses Tightness-Maß macht mehr Sinn, weil es sich aus unserem Paper ableitet, daß bei der Splitting-Heuristik das Volumen der Kinder minimiert werden muß.)

Bem.:

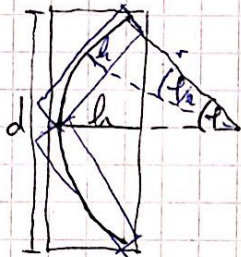
1. Tightness von AABBs <sup>in AABB-Hierarchien</sup> hängt hauptsächlich von "netter" Orientierung der Geom. ab (für Flächen niedriger Krümmung), und sie ist im wesentlichen konstant über die ganze Hierarchie!



$$\tau = \frac{h}{d}$$

$$\tau' = \frac{h'}{d/2} = \frac{h/e}{d/2} = \tau$$

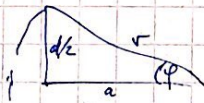
2. Tightness von OBBs <sup>in OBB-Hierarchien</sup> hängt nicht ab von Ori der Fläche, sondern eher von deren Krümmung, und sie nimmt ungefähr linear mit der Tiefe in der Hierarchie ab (wird also besser):



$$h = r(1 - \cos \varphi), \quad d = 2r \sin \varphi$$

$$\tau \approx \frac{1 - \cos \varphi}{2 \sin \varphi} \rightarrow 0 \quad \text{für } \varphi \rightarrow 0$$

verhält sich ungefähr  $\frac{\varphi}{4}$ . (s.u.)



$$\cos \varphi = \frac{a}{r}$$

$$h = r - a = r - r \cos \varphi$$

~~$$\begin{aligned} \text{diam}(B) &= \sqrt{d^2 + h^2} = \sqrt{r^2 (\underbrace{4 \sin^2 \varphi + \underbrace{(1 - \cos \varphi)^2}_{1 - 2 \cos \varphi + \cos^2 \varphi}}_{3 \sin^2 \varphi + 2 - 2 \cos \varphi})} \\ &= r \sqrt{4 \sin^2 \varphi + \cos^2 \varphi - 2 \cos \varphi + 1} \\ &= r \sqrt{3 \sin^2 \varphi + 2 - 2 \cos \varphi} \end{aligned}$$~~

braucht man nicht

Taylor-Reihen einsetzen

$$\frac{1 - \cos \varphi}{2 \sin \varphi} \approx \frac{1 - (1 - \frac{1}{2!} \varphi^2 + \frac{1}{4!} \varphi^4 - \dots)}{2 (\varphi - \frac{1}{3!} \varphi^3 + \dots)}$$

$$\approx \frac{\frac{1}{2} \varphi^2}{2 \varphi} = \frac{1}{4} \varphi = o(\varphi)$$

↑ entspricht "Tiefe" in BVH

# Auflösungs-Strategien:

## 1. Bottom-up:

gegeben Menge  $S$  von BVs auf dem obersten Level der Hierarchie,  
 soweit sie bis jetzt berechnet wurde;  
 für alle  $b \in S$ : bestimme  $(b_n, d_n) = \text{nearest neighbor}$ , dessen Abstand;  
 sortiere  $S$  bzgl.  $d_n$ ;  
 fasse die ersten  $k$  zu einem Vaterknoten zus., die nächsten  $k, \dots$

[Kouroupalos & Leifer:  
 "Direct Spatial - Packed R-trees"  
 nur angelehnt; ca. '84  
 Level der Hierarchie]

Achtung: diese Strategie produziert nicht nativ. BVs  
 mit wenig "dead space":



dead-space =  
 $2^2 - 2 \cdot 1^2 = 6$



(in 3D)

dead-space =  $1^2 \cdot (\sqrt{2} + 1) - 2 \cdot 1^2$   
 $= \sqrt{2} - 1 \approx 0.73!$

## 2. Bottom-up: (zuerst für die Ebene)

[dantzig, Edgington, Lopez:  
 "STR ..." ~1995]

Start mit  $S$ ,  $|S| = n$ .  
 bestimme Mittelpunkt  $c^i$  für alle  $b^i \in S$ ;  
 sortiere  $S$  bzgl.  $c^i$ ;  
 teile  $S$  in  $\sqrt{\frac{n}{k}}$  vertikale "Slices" bzgl.  $c^i$ ;  
 sortiere jeden Slice bzgl.  $c^j$ ;  
 teile jeden Slice bzgl.  $c^j$  in  $\sqrt{\frac{n}{k}}$  "Tubs";  
 fasse jeden Tube zu einem Vaterknoten zus.,  
 berechne DVs für jeden V. Knoten,  
 bilde daraus die Menge  $S'$ ;  
 wiederhole bis mit  $S'$  bis  $|S'| \leq k$ .



er  
 enthält ca.  
 $\sqrt{n/k}$  Tubs

Analog im  $\mathbb{R}^d$ :  $\sqrt[n/k]$  Slices, jeden Slice wieder in  
 $\sqrt[n/k]$  viele Untertubes unterteilen, so oft wie Dim.

### 3. Insertion:

[kommt für streaming geom. vielleicht wieder; s. Dittus 2015]

Start mit leeren Baum.  
 Oder  $B = \text{set of BV's of all } O's$   
 while  $|S| \geq 1$

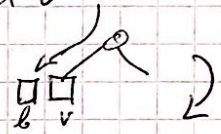
(\*) wähle nächstes  $b \in S$ ;

$v := \text{root}$

while  $v \neq \text{Blatt}$

(#)  $v := \text{Kind } w \text{ von } v$ , so daß Einfügen von  $b$  in Teilbaum  $w$  den Gesamtbaum minimal verkompliziert  
 bilde neuen inneren Knoten mit Kindern  $b$  und  $v$

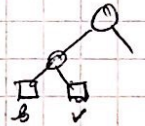
Varianten betreffen nur Schritt (\*) u. (#).



An. hier:  $k=2$  (binärer Baum).

Für  $k>2$  bekommt man einen B-tree,

und braucht zusätzliche Operation Split, wenn Knoten überläuft (s. R-tree und Co.)



Variante A: Surface Area Heuristic [Kleinmehl '83/80] [R-trees & Co.]  
 [Zelniteh & Schwan]

(#): wähle denjenigen Kind  $w$ , so daß  $\text{area}(\text{bbox}(w \oplus b)) = \text{min}$   
 (area = Betrag der Oberfläche)  
Abhängig & to BVH(w)

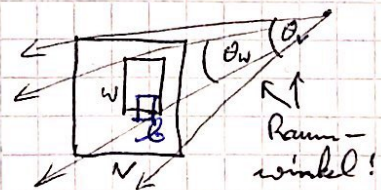
(\*): "model order" oder zufällige Perm. davon  
 (sortieren entlang einer Achse war ganz schlecht)

Begründung für area:

DV-Hierarchie wird für Strahltests verwendet;

An.: Strahl  $s$  kommt von etwas weiter weg;

$$Pr[s \text{ trifft } w \mid s \text{ trifft } v] = \frac{\text{O}_{w \oplus b}}{\text{O}_v} \approx \frac{\text{area}(w \oplus b)}{\text{area}(v)}$$



Unentschieden auflösen durch Pgananzahl

(passiert oft, wenn beide Kinder +  $b$  area=0 liefern).

Statt Area Vol. nehmen, falls Point-loc.-Query. [Kleinmehl, 2015]

Variante B für Regeln:

LSS-Tree

wähle Kind, dessen Mittelpunkt am nächsten am M.pkt von B.

Problem bei Insertion: Reihenfolge -

wenn das erste DV schlecht gewählt ist, dann wird der ganze Baum zwangsläufig schlecht.

4. Top-down: (S aufteilen geschicht und Rekursion)

Generelle Idee: finde "gute" Kostenfkt für einen Split.

Variante A (für Raytracing):

[umgekehrt an Gordon Müller '95]

$S = L \cup R$  (linke/rechte Teilmenge)

$$\text{Kosten } C(L, R) := \frac{\text{area}(\text{bbox}(L))}{\text{area}(\text{bbox}(S))} \cdot C(L) + \frac{\text{area}(\text{bbox}(R))}{\text{area}(\text{bbox}(S))} \cdot C(R)$$

$$C(S) := \min_{L \in \mathcal{P}(S)} C(L, S \setminus L)$$

Näherungsalgo:

forall  $\alpha \in \{x, y, z\}$ :

[Gordon Müller '95;  
R\* tree;  
Schramm & Funnell: l-d trees]

sort S entlang  $\alpha$  bzgl. Mittelpunkte der DVs / Objekte;

$$\text{bestimme } k := \underset{j=0..n}{\text{argmin}} \left\{ \frac{\text{area}(b_1 \dots b_j)}{\text{area}(S)} \cdot j + \frac{\text{area}(b_{j+1} \dots b_n)}{\text{area}(S)} \cdot (n-j) \right\}$$

repeat along  $y, z$

↑ nur gew.  $L \in S$

↑ Schätzung für  $C(L)$  werden betrachtet

wähle davon bestes  $k^\alpha$ .

Bem.: Sortieren muß man nur 1x machen, da sie erhalten bleibt beim Split.

Komplexität:  $T(n) = O(n) + T(\lceil \alpha n \rceil) + T(\lfloor (1-\alpha)n \rfloor)$

$\Rightarrow T(n) \in O(n) + O(n \log n)$

↑  
für Sortieren

↑  
ist mit jeder  
Rekursion ein  
anderes  $\alpha$ !

Variante B (minim. auch Vol):

wie vorher; zusätzlich:

bestimme auf jeder Rek.  $\alpha$  die im besten  $k^\alpha \rightarrow L = \{k_i^\alpha\}$ ;

ferall  $\alpha$ :

bestimme  $o^\alpha := \min \{ \text{vol}(\text{box}(b_1 \dots b_{k_i^\alpha})) \cap$

$\text{vol}(\text{box}(b_{k_i^\alpha+1} \dots b_n)) \mid k_i^\alpha \in L, i=1 \dots m \}$

wähle das beste  $o^\alpha$

und den zugehörigen Split

[ kleine Idee, basiert auf  
R\* tree, 1990. ]

Variante C:

betrachte Mittelpkte  $c_i$  der BVs / Polygone  $b_i \in S$ ;

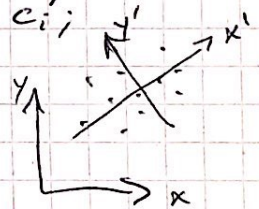
Koordinatentransformation liefert neue Pkte  $c_i'$ ;

lege Spaltebene senkrecht zur

H. Achse mit längster Ausdehnung

durch Schwerpunkt aller  $c_i'$

(alternativ: Median)



[ OBB - Paper ]

# Configuration-space Box-tree:

Betrachte Input-Boxes  $b_i \in S$  im  $\mathbb{R}^d$   
 als Punkte  $p_i \in \mathbb{R}^{2d}$ ;

baue für diese einen  $k$ -d-Tree;

transformiere diesen in  $\text{AABB-Box-Tree}$ :

Blatt  $p_i$  aus  $k$ -d-Tree  $\rightarrow$  Blatt  $b_i$  im  $\text{AABB-Box-Tree}$ ;

innerer Knoten von  $k$ -d  $\rightarrow$  innerer Knoten  $v$  im  $\text{Box-Tree}$

wobei  $\text{bbox}(v) := \text{bbox}(c_1, c_2)$

$\nwarrow$  Kinder von  $v$

[dgorski, de Berg, et al:  
 "Box-trees and R-trees  
 with near-optimal  
 query time". 2001]

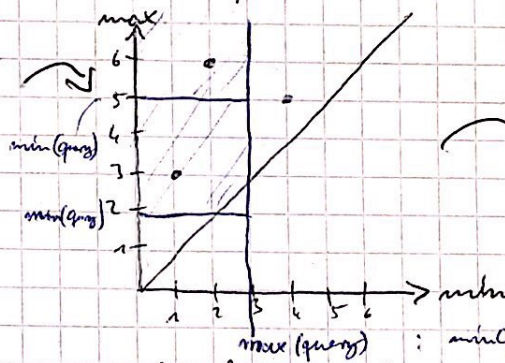
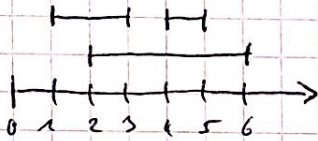
Der Algo tut eigtl nichts weiter,

als auf jeder Stufe die Menge der Boxes gemäß

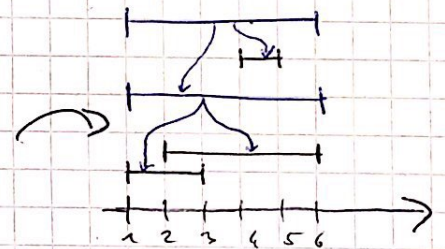
irgend einer Koord  $\text{broad}^d$  los/hig zu sortieren,

und per Median zu splitten!

$\text{AABB's}$   
 in  $\mathbb{R}^1$



$\text{AABB-tree}$



Aber mit dieser Konstruktion kann man

zeigen:

Satz (o. Bew.):

Die Rectangle-Intersection-Query  $\text{im } \mathbb{R}^d$  kann man  
 mittels eines geeigneten Boxtrees in  $O(n^{1-1/d} + k)$   
 Zeit im worst-case beantworten.

Man kann sie außerdem mit Boxtrees

höchstens in Zeit  $\Omega(n^{1-1/d} + k)$  beantworten,

für  $d \geq 3$ .

(Also für  $d=3: \Omega(n^{2/3})$  !)

Vergle dieses Erg.  
 mit Range-tree  
 & Interval-tree!  
 (lex & coord)



~~Eine Anwendung Ray-Tracing:~~

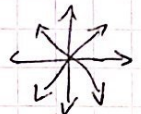
[Kang & Kajiga, ]  
[Trigonometrie '96]

k-DOPs für Ray-Tracing:

Wähle Menge  $B = \{B_1, \dots, B_k\}$  fest,  $k \geq 2d$ ,  $B_j \in \mathbb{R}^d$ ,  
with  
setze  $B_{k+i} = -B_i$ ,  $i = 1, \dots, k$

Dazu ist DOP  $D := \bigcap_{i=1}^{2k} H_i$ ,  $H_i: x \cdot B_i - d_i \geq 0$ ,

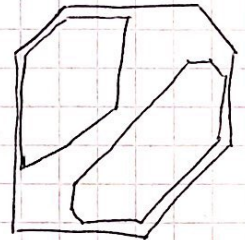
$\rightarrow D = (d_1, \dots, d_{2k})$  definiert Volumen



$B_{k+i} := -B_i$

Schnitt zwischen  $D$  und Strahl  $\vec{x} = \vec{p} + t\vec{v}$ :

$$t_i := \frac{d_i - (B_i \cdot \vec{p})}{B_i \cdot \vec{v}} \quad (\text{wie Cyrus-Beck})$$



Beach:  $i$ , welches  $d_i$  ein "entering" bzw. "leaving"  $t_i$  ergibt bleibt konstant f.a. DOPs (beigleichen Strahl).

Da die <sup>Skalarprodukte</sup>  $v \cdot B_i$  bleiben konstant f.a. DOPs

(Das kann man durch Mult ersetzen)

(Mache den Check, ob das  $t$ -Intervall schon leer ist, abwechselnd mit Ber. des nächsten  $t_i$ .)

Bem.: Für Ray-Tracing müssen die Ori  $B_i$  nicht notwendigerweise paarweise antiparallel sein.

Für Überlappungstest zweier DOPs aber schon.

Für Coll.-Det.:

$$D^i = (d_1^i, \dots, d_k^i)$$

$\exists j = 1, \dots, \frac{k}{2}$ : checke

$$[d_{j+k}^1, d_j^1] \cap [d_{j+k}^2, d_j^2] = \emptyset$$

$\Rightarrow D^1$  und  $D^2$  schneiden sich nicht

